

## О ГИПОТЕЗЕ КРУПНОМАСШТАБНОСТИ ДВИЖЕНИЯ ДЛЯ ГАЗОЖИДКОСТНОГО ПОТОКА

*Н. Н. Елин, О. В. Клапчук*

(*Москва*)

Накопленный в последние годы экспериментальный материал по локальным характеристикам газожидкостных потоков стимулирует развитие полуэмпирических методов исследования таких течений.

В известных к настоящему времени работах двухфазная смесь часто рассматривается как локально гомогенная жидкость, на которую переносятся те или иные гипотезы из гидродинамики однофазных потоков [1, 2]. При этом из рассмотрения выпадают крупномасштабные пульсации гидродинамических величин — скорости, давления, газосодержания.

Роль крупномасштабных пульсаций в газожидкостном потоке показана в [3] путем анализа баланса турбулентной энергии, согласно которому в двухфазном потоке имеет место переход энергии пульсационного (макропульсационного) движения в энергию осредненного движения. Наличие крупномасштабных пульсаций необходимо учитывать в исходных уравнениях сохранения массы, импульса и энергии двухфазных потоков.

Построением системы дифференциальных уравнений, описывающих движение многофазных систем, занимались многие советские и зарубежные исследователи. Анализ наиболее распространенных работ содержится в обзорах [4, 5].

Одним из основных вопросов является выбор масштабов осреднения интегральных уравнений сохранения. Большинство исследователей рассматривают двухфазную смесь в виде несжимаемой жидкости с диспергированными твердыми частицами. В объеме смеси, на который распространяется осреднение, заранее предполагается присутствие обоих компонентов, причем объемная концентрация не зависит от размеров объема осреднения вплоть до бесконечно малых значений последнего.

В результате в осредненных уравнениях появляются корреляции, содержащие пульсацию концентрации.

Такой подход может быть использован для смесей, где размер включений значительно меньше масштабов пространственного осреднения.

При движении газожидкостных смесей в пробковом режиме характерный размер включений соизмерим с масштабами потока (диаметром трубы). Для такого течения можно принять, что в любой момент времени объем, по которому проводится осреднение, занят одной из фаз.

В этом случае корреляции, содержащие пульсацию концентрации, обращающиеся в нуль и осредненные уравнения сохранения массы и импульса сводятся к уравнениям работы [6]

$$\begin{aligned} \frac{\partial}{\partial t} (\rho_i \alpha_i) - \nabla (\rho_i \alpha_i \mathbf{U}_i) &= 0, \\ \frac{\partial}{\partial t} (\rho_i \alpha_i \mathbf{U}_i) &= -(\nabla \rho_i \mathbf{U}_i) \alpha_i \mathbf{U}_i + \rho_i \alpha_i \mathbf{g} + \nabla (\alpha_i \mathbf{P}_i) + \nabla (\alpha_i \mathbf{T}_i). \end{aligned}$$

Тензор  $\mathbf{P}_i$  в декартовой системе координат ( $m$ ;  $n = x, y, z$ ) имеет вид

$$P_{imn} = -p_i \delta_{mn} + \mu_i (\partial U_{im} / \partial n + \partial U_{in} / \partial m)$$

( $\delta_{mn}$  — тензорная единица).

Компоненты тензора второго ранга

$$(1) \quad T_{imn} = -\rho_i u'_{im} u'_{in}$$

нельзя трактовать как вызванные только турбулентными пульсациями, поскольку отклонения от средних величин могут иметь и регулярный характер.

Для расчета этих компонентов необходимо ввести определенные гипотезы о связи пульсационных составляющих скоростей с полем осредненных во времени гидродинамических величин потока.

Энергетические спектры пульсаций давления [3, 7] и трения на стенке [8] указывают на наличие в двухфазном пробковом потоке пульсаций гидродинамических величин двух видов: мелкомасштабных, порожденных общей неустойчивостью, аналогичных пульсациям в однофазном потоке, и крупномасштабных

$$(2) \quad f = \bar{f} + f'_t + f'_k,$$

где  $f$  — действительное мгновенное значение гидродинамической величины;  $f'_t$  — мелкомасштабная (чисто турбулентная) составляющая пульсации;  $f'_k$  — крупномасштабная составляющая.

В широком диапазоне изменения расходных параметров потока максимум спектральных функций пульсаций [3] лежит в области низких частот, а это означает, что основная энергия приходится на крупномасштабные пульсации.

Подставив соотношение (2) в (1), получим

$$(3) \quad T_{imn} = -\rho_i (\overline{u'_{iml} u'_{int}} + \overline{u'_{imt} u'_{ink}} + \overline{u'_{imk} u'_{int}} + \overline{u'_{imk} u'_{ink}}).$$

Поскольку мелкомасштабные и крупномасштабные пульсации имеют разную природу, вполне разумной будет гипотеза о слабом взаимодействии между крупномасштабным движением, порожденным пульсацией концентрации [3], и «однофазной турбулентностью». Согласно введенной гипотезе, второй и третий члены правой части уравнения (3) равны нулю и уравнение принимает вид

$$(4) \quad T_{imn} = -\rho_i (\overline{u'_{iml} u'_{int}} + \overline{u'_{imk} u'_{ink}}).$$

Первый член в правой части (4) имеет тот же смысл, что и в обычной однофазной турбулентности — касательные напряжения, обусловленные турбулентными пульсациями скорости. Кроме того, из (4) следует, что в газожидкостном потоке касательные напряжения возрастают за счет дополнительного крупномасштабного перемешивания.

Выражение для касательных напряжений в двухфазном потоке с продольной компонентой скорости  $u$  и поперечной  $v$  при пренебрежении вязким трением можно записать в виде

$$(5) \quad \tau = -\alpha_1 \rho_1 (\overline{u'_{1t} v'_{1t}} + \overline{u'_{1k} v'_{1k}}) - \alpha_2 \rho_2 (\overline{u'_{2t} v'_{2t}} + \overline{u'_{2k} v'_{2k}}),$$

где  $\alpha_{1(2)}$  — вероятность пребывания фазы 1(2) в данной точке (локальное газосодержание). Индекс 1 всегда относится к жидкой фазе, 2 — к газовой.

Моменты корреляции, содержащие мелкомасштабные пульсации скорости, могут быть выражены при помощи известных соотношений полуэмпирических теорий турбулентности однородной жидкости, например при помощи гипотезы пути перемешивания Прандтля:

$$-\overline{u'_{it} v'_{it}} = \kappa_t^2 y^2 \left( \frac{du_i}{dy} \right)^2,$$

где  $i = 1, 2$ ;  $\kappa_t$  — константа Кармана;  $y$  — расстояние от стенки.

Полагая, что профили скорости обеих фаз и профиль скорости смеси  $u_c = \alpha_1 u_1 + \alpha_2 u_2$  подобны, получим

$$-\overline{u'_{it} v'_{it}} = \kappa_t^2 y^2 \left( \frac{\bar{u}_i}{\bar{u}_c} \right)^2 \left( \frac{du_c}{dy} \right)^2.$$

Теорию пути перемешивания используем и для оценки моментов корреляции вида  $\overline{u'_{ik}v'_{ik}}$ . Одной из первых в этом направлении была работа [9], в которой рассматриваются дополнительные касательные напряжения в жидкой фазе, обусловленные движением газового пузырька относительно окружающей жидкости. Осреднение во времени произведение крупномасштабных пульсаций скорости на расстоянии от стенки имеет вид [9]

$$(6) \quad \overline{(-u'_{ik}v'_{ik})_y} = |\overline{u'_{ik}}| |\overline{v'_{ik}}| [1 - \alpha_i(y_1)],$$

где  $y_1$  — расстояние от стенки, на котором проходит газовый пузырек, создающий дополнительное (крупномасштабное) перемешивание.

Соотношение для дополнительных касательных напряжений в жидкой фазе получено в [9] при рассмотрении движения пузырька сферической формы в неограниченном объеме жидкости. Величина этих напряжений определяется через осредненные по сечению канала значения диаметра пузырька и его скорости относительно окружающей жидкости.

При пробковом режиме течения смеси крупные газовые включения движутся в стесненном пространстве, ограниченном стенками трубы. Теория, развития в [9], не учитывает этого. Кроме того, модель [9] неудобна тем, что зависимость диаметра пузырька от расходных и физических характеристик потока в настоящее время неизвестна. Экспериментальное изучение этой зависимости представляет большие трудности. Поэтому для получения расчетных формул удобнее выразить касательные напряжения через известные характеристики двухфазного потока.

Рассмотрим межфазную поверхность, движущуюся с постоянной скоростью  $c$  и не изменяющую при этом своей формы. Уравнение межфазной поверхности  $a(x, t)$  ( $a$  — расстояние от центра канала) можно представить в виде функции одной переменной  $\xi = x - ct$ . Функция  $a = a(\xi)$  периодическая, ее период равен длине газожидкостной пробки  $l_{jk}$ .

Частицы газа движутся относительно межфазной поверхности со скоростью  $\bar{u}_2 - c$ , жидкости — со скоростью  $\bar{u}_1 - c$ . Вследствие такого относительного движения возникает дополнительное перемешивание. В случае  $\bar{u}_i - c = 0$  дополнительного перемешивания внутри фазы  $i$  нет и крупномасштабные пульсации скорости в этой фазе отсутствуют.

При пробковом течении газожидкостной смеси почти вся газовая фаза сосредоточена в крупных включениях (газовых пробках). Следуя модели, предложенной в [9], предположим, что обтекание газовой пробки жидкостью происходит как обтекание идеальной жидкостью цилиндрического тела переменной толщины  $a(\xi)$ .

При этом линии тока в жидкости отклоняются на некоторое расстояние  $Y(\xi)$  от своего первоначального положения. Если расстояние, на котором жидкость сохраняет свой первоначальный импульс, пропорционально  $Y$ , путь перемешивания в крупномасштабном флюктуационном движении  $l_k(\xi) \sim Y(\xi)$ . Для двухфазного потока, в котором газовые пробки симметричны относительно оси трубы (пробковое течение в вертикальных трубах, а также в трубах любой ориентации при значении числа Фруда, большем автомодельного), характерными размерами являются расстояние от стенки  $y$ , диаметр трубы  $D$ , а также  $a(\xi)$ . Поскольку форма межфазной поверхности неизвестна, положим

$$(7) \quad l_k(\xi) \sim Y(\xi) = y \frac{a(\xi)}{R},$$

где  $R = D/2$  — радиус трубы. Выражение (7) удовлетворяет граничным условиям

$$(8) \quad l_{\kappa}(\xi) = 0 \text{ при } y = 0 \text{ и } a(\xi) = 0, \\ l_{\kappa}(\xi) = a(\xi) \text{ при } y = R.$$

О средней (7) по периоду  $a(\xi)$ , получим

$$(9) \quad l_{\kappa} = y \sqrt{\varphi_2},$$

где для круглой трубы радиусом  $R$

$$\varphi_2 = \frac{\bar{a}^2}{R^2}, \quad a = \frac{1}{l_{\kappa}} \int_{r_{\text{ст}}}^{R} a(\xi) d\xi.$$

Следуя теории пути перемешивания, запишем

$$(10) \quad |u'_{1\kappa}| \sim |v'_{1\kappa}| \sim l_{\kappa} \frac{d(\bar{u}_1 - c)}{dy}.$$

Экспериментальные данные [10] свидетельствуют о том, что локальная концентрация фаз при пробковом течении газожидкостной смеси почти не изменяется по сечению трубы. Исключение составляет пристенный слой, где  $\alpha_2$  резко возрастает от 0 до  $\langle \alpha_2 \rangle = \varphi_2$ .

Полагая  $\alpha_i = \varphi_i$ , выражение (6) при помощи (9), (10) и введенной ранее гипотезы о подобии профилей скорости обеих фаз и смеси можно преобразовать к виду

$$(11) \quad -\overline{u'_{1\kappa} v'_{1\kappa}} = \kappa_{\kappa}^2 y^2 \varphi_2^2 \left( \frac{\bar{u}_1 - c}{\bar{u}_c} \right)^2 \left( \frac{d\bar{u}_c}{dy} \right)^2,$$

где  $\kappa_{\kappa}$  — постоянная.

Аналогичное выражение можно записать для крупномасштабных пульсаций скорости в газовой фазе, имеющих место при движении жидкых пробок:

$$(12) \quad -\overline{u'_{2\kappa} v'_{2\kappa}} = \kappa_{\kappa}^2 y^2 \varphi_1^2 \left( \frac{\bar{u}_2 - c}{\bar{u}_c} \right)^2 \left( \frac{d\bar{u}_c}{dy} \right)^2.$$

Подставив (6), (11), (12) в (5), получим

$$(13) \quad \tau = \rho_c A y^{\xi} \left( \frac{d\bar{u}_c}{dy} \right)^2,$$

$$\text{где } A = \left\{ \frac{\varphi_1 \rho_1}{\rho_c} \left[ \kappa_t^2 \left( \frac{\bar{u}_1}{\bar{u}_c} \right)^2 + \kappa_{\kappa}^2 \left( \frac{\bar{u}_1 - c}{\bar{u}_c} \right)^2 \right] + \frac{\varphi_2 \rho_2}{\rho_c} \left[ \kappa_t^2 \left( \frac{\bar{u}_2}{\bar{u}_c} \right)^2 + \kappa_{\kappa}^2 \left( \frac{\bar{u}_2 - c}{\bar{u}_c} \right)^2 \right] \right\};$$

$$\rho_c = \varphi_1 \rho_1 + \varphi_2 \rho_2.$$

При пробковом течении смеси на стенке трубы всегда имеется слой жидкости толщиной  $\delta_{\text{л}}$ , внутри которого течение ламинарно. Полагая  $\alpha_2 = 0$  при  $0 \leq y \leq \delta_{\text{л}}$ ,  $\alpha_2 = \varphi_2$  при  $y > \delta_{\text{л}}$  и вводя определения динамической скорости и динамической длины

$$(14) \quad u_* = \sqrt{\tau/\rho_c}, \quad l_* = v_1/u_*,$$

примем

$$(15) \quad \delta_{\text{л}} = \gamma l_*, \quad \bar{u}_{1\text{л}} = \beta_1 \bar{u}_{\text{сл}} / \varphi_1 = \gamma u_*,$$

где  $\bar{u}_{1\text{л}}$  — скорость жидкости на внешней границе ламинарного подслоя;  $\gamma$  — числовой множитель. Причем, как и для однофазного потока,  $\gamma = 11,5$  [11].

Проинтегрировав (13) с учетом (14), (15), получим распределение скорости смеси по сечению трубы

$$(16) \quad \frac{\bar{u}_c}{u_*} = \frac{1}{\sqrt{A}} \ln \frac{yu_*}{v_1} + \left( \frac{\varphi_1}{\beta_1} \gamma - \frac{1}{\sqrt{A}} \ln \gamma \right).$$

Для определения коэффициента гидравлического сопротивления смеси используем выражение [3]

$$(17) \quad \tau = \lambda_c \rho_c B \langle \bar{u}_c \rangle^2,$$

где

$$B = \frac{1}{\rho_c} \left( \frac{\beta_1^2}{\varphi_1} \rho_1 + \frac{\beta_2^2}{\varphi_2} \rho_2 \right).$$

При помощи (14), (16), (17) обычным путем [11] можно получить

$$(18) \quad \lambda_c = \left\{ \frac{0,813 \sqrt{B}}{\sqrt{A}} [\lg (\operatorname{Re} \sqrt{\lambda_c}) + \lg \sqrt{B} - 2,47] + 4,07 \frac{\varphi_1}{\beta_1} \sqrt{B} \right\}^{-2},$$

где  $\operatorname{Re} = \langle \bar{u}_c \rangle D / v_1$ .

В случае течения смеси в шероховатой трубе условие на высоте выступов шероховатости запишем в виде

$$y = k_3, \quad \bar{u}_1 = \bar{u}_{1h} = \frac{\beta_1}{\varphi_1} \bar{u}_{ch} = \Phi \left( \frac{k_3 u_*}{v_1} \right).$$

Проинтегрировав (13), получим

$$\frac{\bar{u}_c}{u_*} = \frac{1}{\sqrt{A}} \ln \frac{y}{k_3} + \frac{\varphi_1}{\beta_1} \Phi \left( \frac{k_3 u_*}{v_1} \right).$$

Коэффициент гидравлического сопротивления для шероховатой трубы

$$(19) \quad \lambda_c = \left[ \frac{0,813 \sqrt{B}}{\sqrt{A}} \left( \lg \frac{D}{2k_3} - 0,65 \right) + \frac{3\varphi_1}{\beta_1} \sqrt{B} \right]^{-2}.$$

При  $\beta_2 = 0$  формулы (18), (19) переходят в формулы коэффициентов гидравлического сопротивления однофазного потока [11].

Отсутствие достаточного количества надежных экспериментальных данных по профилям осредненных скоростей смеси в пробковом потоке не позволяет определить постоянную  $\chi_k$  из формулы (16). Поэтому  $\chi_k$  вычислялось путем сопоставления формул (18), (19) с экспериментальными данными [3]. Для постоянной  $\chi_k$  получено численное значение  $\chi_k = 1,73$ .

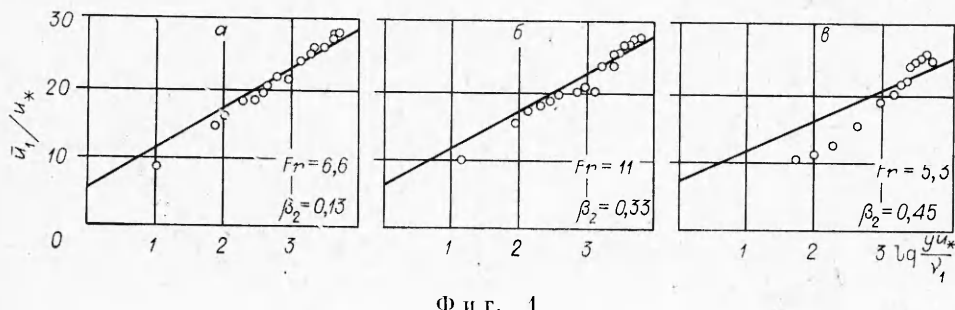
Для практических расчетов пробкового течения двухфазной смеси получена интерполяционная формула

$$(20) \quad \lambda_c = \left[ (3 - 1,26a) - 2a \lg \left( \frac{2k_3}{D} + \frac{18,7}{\operatorname{Re} \sqrt{\lambda_c}} \right) \right]^{-2},$$

где

$$a = \left[ 1 + 18,8 (1 - K)^2 \frac{\beta_2^2}{\beta_1^2} \right]^{-1/2}; \quad K = \varphi_2 / \beta_2.$$

Анализируя соотношение (16), можно заметить, что распределение осредненных скоростей в двухфазном потоке не подчиняется универсальному логарифмическому закону. Отличие состоит в том, что коэффициент



Фиг. 1

при члене, содержащем логарифм, и свободный член в уравнении (16) не являются постоянными, а зависят от соотношения объемных расходных и объемных истинных концентраций компонентов смеси.

Условия, при которых профиль осредненных скоростей смеси более равномерный, чем при турбулентном течении однородной жидкости, определяются неравенством  $A > \kappa_t^2$ . При  $\rho_1 \gg \rho_2$  это соответствует

$$\beta_2 = \frac{0.32}{3(1-K) + 0.16(1+K)}.$$

Для воздухо-водяной смеси при  $p = 0.1$  МПа ( $K = 0.81$ ) получим  $\beta_2 > 0.372$ . Распределение скорости жидкой фазы в двухфазном пробковом потоке получим путем подстановки в (16) очевидного равенства  $\bar{u}_1 = (\beta_1/\varphi_1) \bar{u}_c$ .

При  $\rho_1 \gg \rho_2$

$$\frac{\bar{u}_1}{u_*} = \frac{1}{\sqrt{0.16 + 3(1-K)^2 \beta_2^2 / \beta_1^2}} \ln \frac{yu_*}{v_1} + \left( \gamma - \frac{1}{\sqrt{0.16 + 3(1-K)^2 \beta_2^2 / \beta_1^2}} \ln \gamma \right). \quad (21)$$

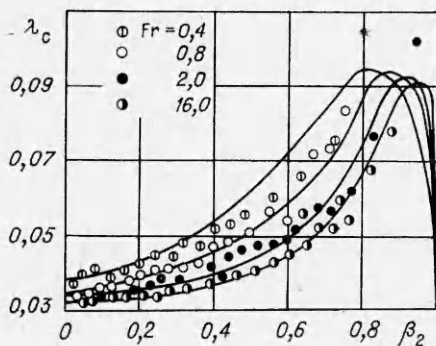
Можно заметить, что профиль  $u_1(y)$  более равномерный, чем профиль скорости в однофазном турбулентном течении, поскольку подкоренное выражение в первой части уравнения (21) при всех  $\beta_2 \neq 0$  больше  $\kappa_t^2 = 0.16$ .

По той же причине коэффициент гидравлического сопротивления  $\lambda_c$ , вычисленный по формуле (20), всегда больше коэффициента гидравлического сопротивления течению однородной жидкости [11], причем эта разница увеличивается с ростом  $\beta_2$ .

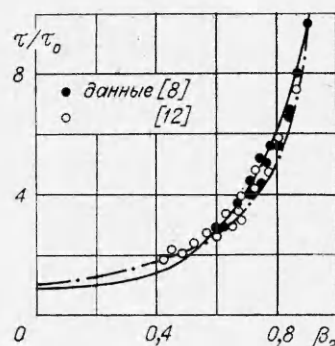
Сопоставление результатов расчета профилей скорости жидкости по формуле (21) с данными измерений В. П. Однорала, выполненных в ИТФ СО АН СССР при помощи электродиффузационного метода, показывает хорошее совпадение эксперимента и предлагаемого расчета (фиг. 1).

На фиг. 2 приведено сопоставление результатов расчета по предлагаемой методике (сплошные линии) с экспериментальными данными [3], полученными при различных значениях критерия Фруда. Как видно в области развитого течения смеси при  $Fr > 4$  расчет имеет лучшую согласованность с экспериментом.

Сопоставление формулы (20) с известными в настоящее время эмпирическими методами расчета пробкового потока осложняется тем, что в большинстве методик не используется понятие коэффициента гидравлического сопротивления смеси. В тех случаях, когда это понятие вводится, расчетное уравнение для определения потерь давления записывается в различных методиках по-разному.



Фиг. 2



Фиг. 3

На фиг. 3 сопоставление предлагаемой методики (сплошная линия) с экспериментальными данными [8, 12] представлено в координатах  $\tau/\tau_0$ ,  $\beta_2$ . Здесь же показаны результаты расчета по методике работы [13] (штрихпунктирная линия). Видно, что полученное расчетное соотношение вполне удовлетворительно согласуется с указанными экспериментальными данными во всей области существования пробкового потока.

Авторы выражают благодарность сотрудникам лаборатории физической гидродинамики ИТФ СО АН СССР за информацию об измерениях профилей скорости.

Поступила 25 IX 1979

#### ЛИТЕРАТУРА

1. Beattie D. R. Two-phase flow structure and mixing length theory.—Nucl. Eng. and Design., 1972, vol. 21, N 1.
2. Горин А. В. Трение, профили скорости и газосодержания в газожидкостном турбулентном потоке.—ИФЖ, 1978, т. 35, № 3.
3. Мамаев В. А., Одишария Г. Э., Кланчук О. В., Точигин А. А., Семенов Н. И. Движение газожидкостных смесей в трубах. М., Недра, 1978.
4. Телетов С. Г. Новые исследования по общим уравнениям гидродинамики и энергии двухфазных потоков. М., Атомиздат, 1970.
5. Кащеев В. М., Муранов Ю. В. Уравнения сохранения массы, импульса и энергии для двухфазных потоков. Препринт ФЭИ-34, 1977.
6. Накорчевский А. И. Метод механики многофазных потоков с крупномасштабными дисперсиями.—В сб.: Некоторые вопросы математического описания процессов гидродинамики и тепломассообмена многофазных систем. Ин-т кибернетики АН УССР. Препринт-77-15, 1977.
7. Nishikawa K., Sekoguchi K., Fukano T. On the pulsation phenomena in gas-liquid two-phase flow.—Bull. JSME., 1969, vol. 12, N 54.
8. Накоряков В. Е., Бурдуков А. П. и др. Исследование турбулентных течений двухфазных сред. Новосибирск, изд. ИТФ СО АН СССР, 1973.
9. Sato Y., Sekoguchi K. Liquid velocity distribution in two-phase bubble flow.—Int. J. Multiphase Flow., 1976, vol. 2, N 1.
10. Субботин В. И., Похвалов Ю. Е. и др. Временные и структурные характеристики газожидкостного потока при снарядном течении.—Теплоэнергетика, 1976, № 1.
11. Лойцянский Л. Г. Механика жидкости и газа. М., Наука, 1978.
12. Уоллис Г. Одномерные двухфазные течения. М., Мир, 1972.
13. Арманд А. А. Исследование механизма движения двухфазной смеси.—В сб.: Гидродинамика и теплообмен в котлах высокого давления. Изд-во АН СССР, 1955.